

آشکارسازی هیدروکربورهای گازی دشت گران به شیوه آنالیز AVO

پژوهش نفت

سال بیست و سوم

شماره ۷۶

صفحه، ۱۲۴-۱۳۶

تاریخ دریافت مقاله: ۹۲/۳/۱۷

تاریخ پذیرش مقاله: ۹۲/۷/۲۱

روح‌الله پرویزی* و پیمان رضایی

۱- دانشگاه آزاد اسلامی واحد قشم، دانشکده مهندسی شیمی

۲- دانشگاه هرمزگان، دانشکده علوم، گروه زمین‌شناسی

rh_parvizi@yahoo.com

راموس - کاستاگنا می‌توان گفت که درجه اشباع آب٪۹۰ و درجه اشباع زون‌های هیدروکربوری شناسایی شده در زیر ناپیوستگی کرتاسه - ترشیری در حدود٪۱۰ است.

واژه‌های کلیدی: تغییرات دامنه در مقابل دورافت، نشان‌گرهای تبدیلی، مدل‌سازی مستقیم AVO، مدل‌سازی معکوس AVO.

مقدمه

AVO¹ (تغییرات دامنه در مقابل دورافت) یک روش تفسیر لرزه‌ای است که به بررسی نحوه تغییرات دامنه امواج لرزه‌ای یا خواص‌الاستیکی لایه‌های پایینی و بالایی یک بازتابنده است و خواص مذکور تحت تاثیر نوع سیال و شرایط لیتولوژی می‌باشد. آنالیز تغییرات دامنه موج P در مقابل دورافت (P-P AVO) به همراه اطلاعات مربوط به موج برಶی تبدیلی (P-Sv)، ابزار اکتشافی موثری در آشکارسازی هیدروکربورهای گازی محسوب می‌شوند. در واقع روش P-Sv مکمل روش P-P می‌باشد [۱]. ریت و کندال به بحث و بررسی در ارتباط با آنومالی‌ها بر پایه

چکیده

AVO یا تغییرات دامنه در مقابل دورافت، یکی از روش‌های مؤثر در شناسایی نوع سیالات در اکتشافات زیر‌سطحی است. در این مطالعه با بهره‌گیری از مدل‌سازی مستقیم و معکوس در قالب آنالیز AVO به بررسی وجود هیدروکربورهای سبک در دشت گران پرداخته شده است. هدف، مدل‌سازی مستقیم تعیین نشان‌گرهای وابسته به لیتولوژی و سیال است. آنالیز مذکور در ارتباط با نشان‌گرهای تبدیلی و غیر تبدیلی انجام شده است. مدل‌سازی معکوس با داده‌های واقعی سروکار دارد و از نتایج مدل‌سازی مستقیم که برای شناسایی زون‌های حاوی هیدروکربورهای سبک بهره می‌گیرد شناسایی شوند. به کارگیری روش معروف شده در دشت گران نشان می‌دهد که نشان‌گرهای تبدیلی مانند بازتابندگی سد صوتی موج برಶی و بازتابندگی سرعت موج برಶی نسبت به نشان‌گرهای غیر تبدیلی شامل بازتابندگی سد صوتی موج تراکمی و بازتابندگی سرعت موج تراکمی، قابلیت بالاتری در تمایز سیال دارد. تشکیل مقاطع برگردان شده از نشان‌گرهای سیالی، دو زون هیدروکربوری سبک را در زیر ناپیوستگی کرتاسه - ترشیری آشکار می‌سازد و انتظار می‌رود که در زیر این زون‌ها آب وجود داشته باشد. با بررسی مقادیر نشان‌گرهای مقابله دانسیته، سرعت موج برಶی و تراکمی از روی مقاطع برگردان شده نشان‌گرهای مذکور و در نظر گرفتن نمودار

1. Amplitude Variation With Offset

2. Primary Wave - Vertical Secondary Wave

کلی هدف از این مطالعه شناسایی زونهای هیدروکربوری احتمالی در دشت گرگان با بررسی نشانگرهای AVO در محل لاین لرزه‌ای ۱۰۶ است.

موقعیت جغرافیا یی دشت گرگان

منطقه مذکور بین طولهای شرقی ۵۶ تا ۵۴ و عرضهای شمالی ۳۶ تا ۳۸ درجه واقع شده است. به این ترتیب دشت گرگان شامل شرق دریای خزر و خلیج گرگان تا رودخانه گرگان و بلندی‌های کوه داغ بوده و همچنین شمال مناطق مورفوژئیکی متمایز پوشیده جنگلی البرز تا مرز مشترک ایران و ترکمنستان را در بر می‌گیرد [۷].

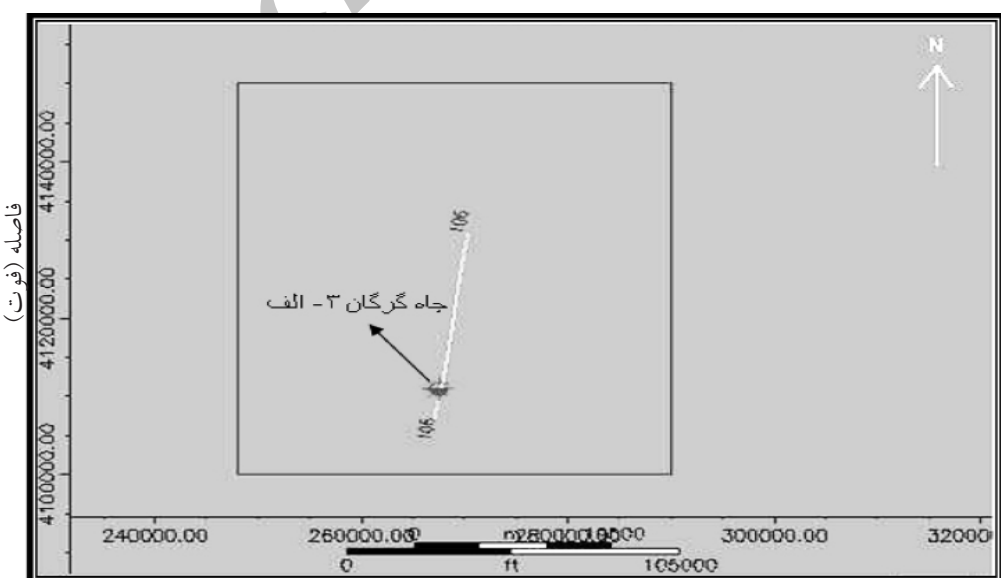
اطلاعات داده‌های لرزه‌ای و پردازش

داده‌های لرزه‌ای مورد استفاده در منطقه مورد مطالعه دارای فاصله نمونه برداری ۲ ms، تعداد کanalها ۲۴۰ عدد، فاصله هر دو موقعیت چشممه از یکدیگر ۲۵ m و فاصله نقاط عمقی مشترک از یکدیگر ۶/۲۵ m است. مراحل پردازش شامل وارد نمودن هندسه برداشت، ویرایش رد لرزه‌ها، جبران و آگرایی کروی موج و جبران جذب غیر الاستیک محیط عبور موج می‌باشد.

نشانگرهای تبدیلی پرداخته‌اند [۲]. نیل و همکاران مطالعاتی در زمینه آنالیز لرزه‌ای جهت آشکارسازی هیدروکربورهای سبک انجام داده‌اند [۳]. آکی و ریچاردز یک تقریب شامل سه عبارت بازتابندگی دانسیته، سرعت‌های موج تراکمی و برشی در ارتباط با معادله زوپریتس تقریب اسمیت و گیدلو^۱ بر پایه معادله آکی و ریچاردز بنیان نهاده شده است. این تقریب روی مقاطع بر اینبارش شده برای رسیدن به اطلاعاتی در ارتباط با خواص سنگ مخزنی، اجرا شده است [۵].

فاتی و همکاران نیز با توجه به خطی نبودن معادله زوپریتس و تعداد پارامترهای کشسان زیاد آن، جهت تسهیل به کارگیری معادله مذکور برای وارون سازی، به خطی سازی آن پرداخته‌اند [۶]. این مطالعه در دشت گرگان انجام شده است. مشاهده همزمان آنومالی‌های دامنه‌ای در مقطع لرزه‌ای و همچنین لایه‌های گازی در محل چاه گرگان ۳-الف عامل اساسی در انجام این تحقیق می‌باشد. داده‌های چاه و مقطع لرزه‌ای ۲ بعدی که از محل چاه گرگان ۳-الف عبور می‌کند در دسترس می‌باشد (شکل ۱).

آنالیز AVO به کمک نشانگرهای معمولی P-P، نشانگرهای تبدیلی P-Sv و در قالب مدل‌سازی مستقیم و معکوس در زونهای هیدروکربوری و آب شور انجام شده است. به طور



شکل ۱- موقعیت لاین لرزه‌ای ۱۰۶ و چاه گرگان ۳- الف

1. Zoeppritz Equation
2. Smith and Gidlow Approximation

نیشان گر بازتابندگی پواسون (۸۵)

$$\Delta\sigma = \frac{4}{9}(A+B) \quad (2)$$

نیشان گر بازتابندگی موج تبدیلی (S)

$$S = \frac{1}{2}(A-B) \quad (3)$$

نیشان گر علامت (SIGN)

$$\text{SIGN} = A * B \quad (4)$$

نیشان گر ضریب سیال (ΔF)

$$\Delta F = 1.252A + 0.58B \quad (5)$$

در صورت فقدان لاغ‌های سونیک، موج تبدیلی و دانسیته، به کمک روابط گاردنر و کاستاگنا پارامترهای مجھول قابل محاسبه می‌شوند:

رابطه کاستاگنا به منظور محاسبه سرعت موج تبدیلی از لاغ سونیک

$$\alpha = 1.16\beta + 1.36 \quad (6)$$

رابطه گاردنر به منظور محاسبه دانسیته از لاغ سونیک

$$\rho = a\alpha^b \quad (7)$$

مقادیر a و b در محدوده وسیعی از سنگ‌های ماسه سنگی به ترتیب برابر 0.23 و 0.25 است.

روش‌شناسی و بحث

در این مبحث سه حالت مدل‌سازی مستقیم AVO، مدل‌سازی معکوس AVO و تخمین درجه اشباع هیدروکربوری در دشت گرگان معرفی شده و مورد بحث قرار می‌گیرد. هدف مدل‌سازی مستقیم شناسایی نیشان‌گرهایی است که تغییرات آنها وابسته به سیال است. پس از تعیین نیشان‌گرهای مذکور به کمک مدل‌سازی معکوس، می‌توان زون‌های هیدروکربوری احتمالی را شناسایی نمود و نهایتاً درجه اشباع بر اساس سه پارامتر بازتابندگی دانسیته، سرعت‌های امواج تراکمی و برشی به کمک نمودار راموس - کاستاگنا برآورد می‌شود. لازم به ذکر است که داده‌های ورودی مدل‌سازی مستقیم، لاغ‌های

در مرحله بعد فرآیند معادل‌سازی ردلرزهای دامنه وابسته به سطح ردلرزهای در یک پنجره محدود انجام می‌شود. همچنین جهت حذف امواج مستقیم با دامنه بالا و امواج شکست مرزی، عمل برش^۱ در محدوده پنجره‌هایی با زاویه‌های مختلف انجام می‌گردد. در این بررسی فیلتر میان گذر^۲، معادل‌سازی طیف دامنه، واهم آمیخت از نوع اسپایک^۳ وابسته به سطح^۴ به کار گرفته شده است. جهت بازگرداندن دامنه داده‌ها به میز ان واقعی ادغام ردلرزهای^۵ با نقطه عمق مشترک به منظور تقویت بازتاب‌های همدوس^۶ و حذف نوافه‌های اتفاقی نیز انجام می‌شود.

مقدمه روشن AVO

آن چه در AVO نقش اصلی را بازی می‌کند، توجه به دامنه‌های انعکاسی به جای ایتروال‌های زمانی در مقاطع ردلزهای است. با توجه به اینکه نقاط روشن در مقاطع برانبارشی ممکن است تحت تأثیر لیتلولوژی ایجاد شده باشند، باید در مقاطع قبل از برانبارش و در قالب آنالیز AVO بررسی شوند. AVO روشنی کمی و فیزیکال بوده و در قالب معادلات بیان می‌شود. از جمله این معادلات تقریب، شوی^۷ است:

$$R(\theta) \approx A + B \sin^2 \theta + C(\tan^2 \theta - \sin^2 \theta) \quad (1)$$

$$A = \frac{1}{2} \left(\frac{\Delta\alpha}{\alpha} + \frac{\Delta\rho}{\rho} \right)$$

$$B = \frac{1}{2} \left(-\frac{\Delta\rho}{\rho} + \frac{\Delta\alpha}{\alpha} - 2 \frac{\Delta\beta}{\beta} \right)$$

$$C = \frac{1}{2} \frac{\Delta\alpha}{\alpha}$$

در رابطه ۱ پارامترهای A، B و C به ترتیب معرف نیشان‌گرهای عرض از مبدأ، گرادیان و اثرانحنا هستند. α و β به ترتیب بیان‌گر مقادیر متوسط پارامترهای سرعت موج P، سرعت موج S و دانسیته ρ در لایه‌های بالایی و زیرین بوده و پارامترهای $\Delta\alpha$ ، $\Delta\beta$ و $\Delta\rho$ نیز به ترتیب نیشان‌دهنده اختلاف سرعت موج P، سرعت موج S و دانسیته ρ در لایه‌های بالایی و زیرین هستند. لازم به ذکر است که بیان کننده پارامتر بازتابندگی به عنوان تابعی از زاویه فروودی است. در زیر برخی دیگر از نیشان‌گرهای AVO معرفی می‌شوند:

1. Muting

2. Band pass Filter

3. Spiking Deconvolution

4. Surface Consistent

5. Trace Mix

6. Coherent

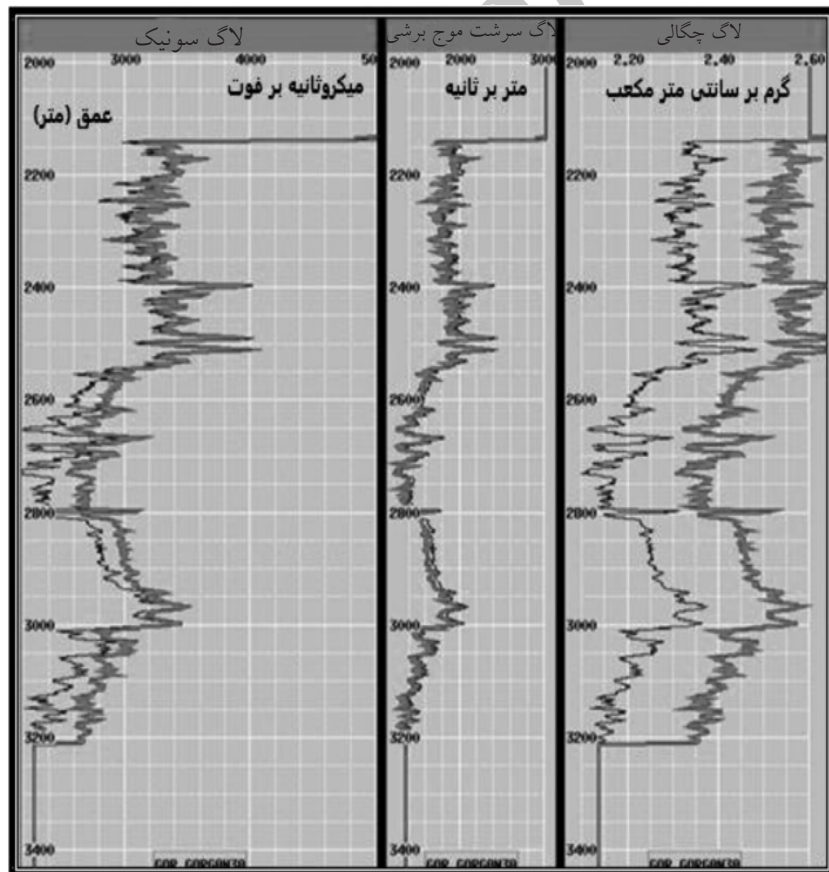
7. Shuey Approximation

تقریب شوی است که در بخش مقدمه AVO توضیحات مربوط به این معادله آمده است. CDP‌های مصنوعی در دو حالت گازی و اشباع آبی در شکل‌های ۳ و ۴ نشان داده شده است. در این دو CDP ساختگی، بخش بالا و پایین لایه هدف نشان داده شده است. لازم به ذکر است که فاز موجک مورد استفاده در ساخت CDP‌ها، ۳۰ هرتز و نوع آن Ricker می‌باشد. نتایج آنالیز نشان‌گرها شامل انواع تبدیلی و غیر تبدیلی در بخش بالا و پایین زون‌های آبی و گازی CDP‌های ساختگی، در جداول ۱ و ۲ خلاصه شده است. در این جدول علامت + به معنای نشان‌گر با مقدار صفر، علامت + به معنای نشان‌گر با مقدار متوسط مثبت، علامت ++ نمایان‌گر نشان‌گر با مقدار مثبت بالا، علامت - به مفهوم نشان‌گر با مقدار منفی متوسط و علامت -- به معنای نشان‌گر با مقدار منفی بالا می‌باشد.

چاهی بوده و مدل‌سازی معکوس براساس داده‌های لرزه‌ای انجام می‌شود.

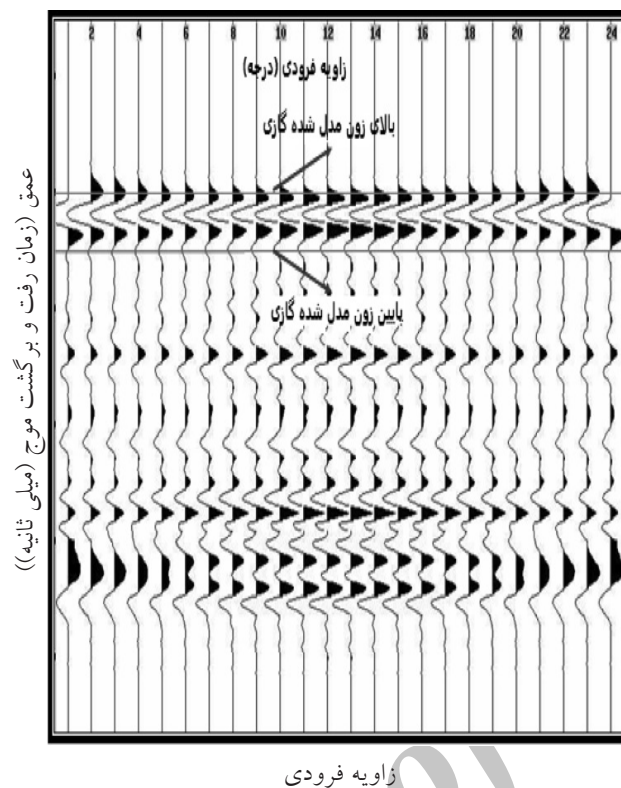
مدل‌سازی مستقیم AVO در دشت گرگان

هدف مدل‌سازی مستقیم تعیین نشان‌گرهایی است که تمایز بهتری بین مخزن اشباع گازی و آبی نشان می‌دهد. مدل‌سازی مستقیم مستلزم تولید CDP‌های مصنوعی از داده‌های چاه است. برای این منظور باید لاغ‌های دانسیته، سونیک و سرعت موج بررسی در دسترس باشند. در چاه گرگان ۳-الف تنها لاغ سونیک موجود است. بنابراین به کمک روابط گاردنر^۱ و ماد راک لاین لاغ‌های دانسیته و بررسی از لاغ سونیک تولید می‌شوند، سپس بر اساس معادلات گاسمن^۲ (۱۹۵۱) لاغ‌های مذکور در حالت اشباع آبی ساخته می‌شوند (شکل ۲). روند ساخت CDP‌ها (محاسبه بازتابندگی یا ضربی انعکاسی) براساس رابطه



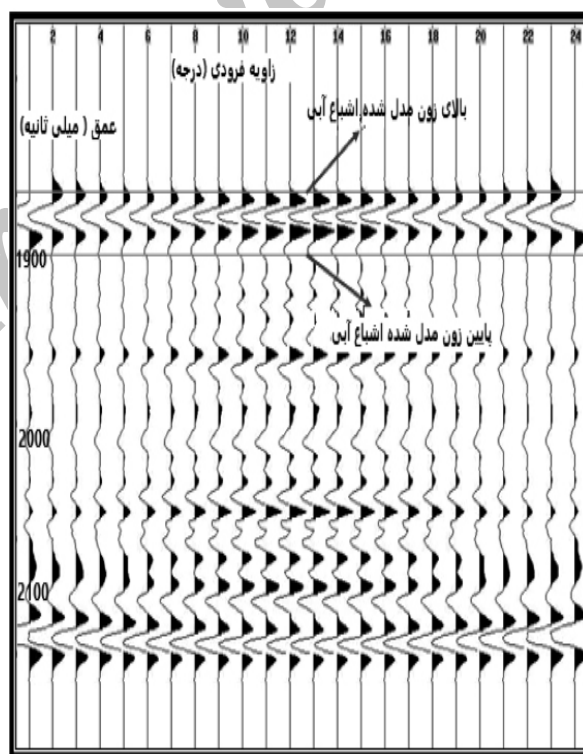
شکل ۲- لاغ‌های سونیک ، سرعت موج برಶی و دانسیته (رنگ خاکستری روشن نشان‌دهنده حالت گازی و رنگ خاکستری تیره نشان‌دهنده حالت اشباع آبی است).

1. Gardner's Equation
2. Gassmann's Equation



زاویه فرودی

شکل ۳- CDP‌های ساختگی در حالت مدل شده گازی (زون بالا و پایین مخزن در این شکل مشخص شده است). لازم به ذکر است که میزان افزایش زاویه به ازای هر ردلرزه از چپ به راست ۲ درجه می‌باشد.



زاویه فرودی

شکل ۴- CDP‌های ساختگی در حالت اشباع آبی (قسمت بالا و پایین زون مدل‌سازی شده اشباع آبی نیز در این شکل مشخص شده است). لازم به ذکر است که میزان افزایش زاویه به ازای هر ردلرزه از چپ به راست ۲ درجه می‌باشد.

جدول ۱- پاسخ نشانگرها در بخش بالا و پایین زون مدل‌سازی شده گازی

گرادیان		نشانگر علامت		بازتابندگی دانسیته		بازتابندگی سرعت موج برشی		بازتابندگی سرعت موج تراکمی		بازتابندگی سد صوتی موج برشی		بازتابندگی سد صوتی موج تراکمی	
بالا	پایین	بالا	پایین	بالا	پایین	بالا	پایین	بالا	پایین	بالا	پایین	بالا	پایین
--	+	--	++	0	0	++	(-) 0	++	(-) 0	+	-	+	(-) 0
بازتابندگی پواسون			بازتابندگی Lambda*Rho	بازتابندگی Mu*Rho	بازتابندگی سد صوتی الاستیکی	بازتابندگی شبیه پواسون	بازتابندگی سد صوتی موج برشی	ضریب سیال	عرض از مبدأ				پایین
بالا	پایین	بالا	پایین	بالا	پایین	بالا	پایین	بالا	پایین	بالا	پایین	بالا	پایین
--	(+) 0	+	(-) 0	++	(-) 0	+	(-) 0	--	+	--	+	++	(-) 0

جدول ۲- پاسخ نشانگرها در بخش بالا و پایین زون مدل‌سازی شده آبی

گرادیان		نشانگر علامت		بازتابندگی دانسیته		بازتابندگی سرعت موج برشی		بازتابندگی سرعت موج تراکمی		بازتابندگی سد صوتی موج برشی		بازتابندگی سد صوتی موج تراکمی	
بالا	پایین	بالا	پایین	بالا	پایین	بالا	پایین	بالا	پایین	بالا	پایین	بالا	پایین
(-) 0	(+) 0	0	-	0	0	(+) 0	(-) 0	+	(-) 0	(+) 0	(-) 0	+	(-) 0
بازتابندگی پواسون			بازتابندگی Lambda*Rho	بازتابندگی Mu*Rho	بازتابندگی سد صوتی الاستیکی	بازتابندگی شبیه پواسون	بازتابندگی سد صوتی موج برشی	ضریب سیال	عرض از مبدأ				پایین
بالا	پایین	بالا	پایین	بالا	پایین	بالا	پایین	بالا	پایین	بالا	پایین	بالا	پایین
(+) 0	(+) 0	++	(-) 0	(+) 0	(-) 0	++	(-) 0	++	(+) 0	++	(+) 0	++	(-) 0

همچنین در زون آبی و در بخش بالا و پایین به ترتیب مقادیر مثبت و منفی نزدیک به صفر دارد، بدین ترتیب تغییرات نشانگر مذکور تحت تأثیر لیتولوژی و سیال خواهد بود ضمن اینکه این نشانگر در تمایز نوع سیال چندان موفق عمل نمی‌کند، اما در تشخیص محدوده‌های لیتولوژی مخزن نسبتاً مناسب خواهد بود.

نشانگر بازتابندگی سرعت موج تراکمی*

این نشانگر در زون گازی و در بخش بالا و پایین به ترتیب با مقادیر مثبت بالا و منفی نزدیک به صفر مشخص می‌شود.

نشانگر بازتابندگی دانسیته

این نشانگر در هر دو زون آبی و گازی و در دو بخش بالا و پایین پاسخ صفر می‌دهد که علت آن می‌تواند عدم لحاظ اثر انحنای سطوح انعکاسی در فرآیند آنالیز باشد. از طرف دیگر با توجه به اینکه تغییر نوع سیال در پاسخ نشانگر مذکور بی‌تأثیر بوده است، بازتابندگی دانسیته بیانگر تغییرات لیتولوژی در آن دسته از لایه‌هایی خواهد بود که اختلاف سد صوتی^۳ بالایی با یکدیگر دارند. طبیعی است که این نشانگر در تشخیص زون‌های مخزنی و محدوده‌های آن موفق عمل نخواهد کرد.

نشانگر بازتابندگی سرعت موج برشی^۴

این نشانگر در زون گازی و در بخش بالا و پایین به ترتیب با مقادیر مثبت بالا و منفی نزدیک به صفر مشخص می‌شود.

1. Density Reflectivity

2. Impedance

3. Shear Wave Velocity Reflectivity

4. P- Wave Velocity Reflectivity

به ترتیب مقادیر منفی نزدیک به صفر و مثبت نزدیک به صفر را داراست. بدین ترتیب تغییرات نشان‌گر مذکور تحت تاثیر سیال و لیتولوژی خواهد بود. ضمن اینکه این نشان‌گر در تعیین محدوده‌های لیتولوژی مخزن نیز عملکرد موفقی دارد.

نشان‌گر علامت^۹

این نشان‌گر در زون گازی و در بخش بالا و پایین به ترتیب با مقادیر منفی بالا و مثبت بالا مشخص می‌شود، همچنین در زون آبی و در بخش‌های بالا و پایین به ترتیب مقادیر صفر و منفی متوسط دارد. بنابراین تغییرات نشان‌گر مذکور بیشتر تحت تأثیر سیال خواهد بود، ضمن اینکه این نشان‌گر در تمایز نوع سیال و تفکیک محدوده‌های مخزنی عملکرد مناسبی دارد.

نشان‌گر بازتابندگی پواسون^{۱۰}

این نشان‌گر در زون گازی و در بخش‌های بالا و پایین به ترتیب با مقادیر منفی بالا و مثبت نزدیک به صفر مشخص می‌شود. همچنین در زون آبی و در بخش‌های بالا و پایین نیز مقادیر مثبت نزدیک به صفر را خواهد داشت. به این ترتیب تغییرات نشان‌گر مذکور تحت تأثیر سیال و لیتولوژی بوده و این نشان‌گر در تفکیک محدوده‌های مخزنی عملکرد مناسبی دارد.

نشان‌گر بازتابندگی مقاومت صوتی الاستیکی و بازتابندگی^{۱۱} پاسخ این نشان‌گرهای در زون گازی و در بخش‌های بالا و پایین به ترتیب با مقادیر مثبت متوسط و منفی نزدیک به صفر مشخص می‌شود همچنین در زون آبی و در بخش‌های بالا و پایین نیز مقادیر مثبت بالا و منفی نزدیک به صفر را دارد. بنابراین، تغییرات نشان‌گرهای مذکور تحت تأثیر سیال و لیتولوژی می‌باشد و این نشان‌گرهای در تفکیک محدوده‌های مخزنی عملکرد مناسبی خواهند داشت.

نشان‌گر بازتابندگی $\mu \times \mu$

این نشان‌گر در زون گازی و در بخش‌های بالا و پایین به

همچنین در زون آبی و در بخش بالا و پایین به ترتیب مقادیر مثبت و منفی نزدیک به صفر دارد، بنابراین، تغییرات نشان‌گر مذکور تحت تأثیر لیتولوژی و سیال خواهد بود. این نشان‌گر اگرچه در تمایز نوع سیال چندان موفق عمل نمی‌کند اما در تشخیص محدوده‌های لیتولوژی مخزن، پارامتری مناسب خواهد بود.

نشان‌گر بازتابندگی سد صوتی موج برشی^{۱۲}

این نشان‌گر در زون گازی و در بخش بالا و پایین به ترتیب با مقادیر مثبت متوسط و منفی متوسط مشخص می‌شود همچنین در زون آبی و در بخش بالا و پایین به ترتیب مقادیر مثبت و منفی نزدیک به صفر دارد، بنابراین، تغییرات نشان‌گر مذکور تحت تأثیر لیتولوژی و سیال خواهد بود. این نشان‌گر اگرچه در تمایز نوع سیال چندان موفق عمل نمی‌کند اما در تشخیص محدوده‌های لیتولوژی مخزن، پارامتری مناسب خواهد بود.

نشان‌گر بازتابندگی سد صوتی موج تراکمی^{۱۳}

این نشان‌گر در زون های آبی - گازی و در بخش‌های بالا و پایین به ترتیب با مقادیر مثبت متوسط و منفی نزدیک به صفر مشخص می‌شود، به این ترتیب تغییرات نشان‌گر مذکور تنها تحت تأثیر لیتولوژی بوده و در تشخیص محدوده‌های مخزنی مناسب می‌باشد، زیرا مقادیر بازتابندگی سد صوتی موج تراکمی در بالا و پایین زون گازی علامت‌های مختلفی دارند.

نشان‌گرهای بازتابندگی شبه پواسون^{۱۴} و ضربی سیال^{۱۵}

پاسخ نشان‌گرهای مذکور مشابه بوده و در زون گازی در بخش‌های بالا و پایین به ترتیب با مقادیر منفی بالا و مثبت متوسط مشخص می‌شود. همچنین در زون آبی و در بخش‌های بالا و پایین به ترتیب مقادیر مثبت بالا و منفی نزدیک به صفر دارد. بنابراین تغییرات این نشان‌گرهای اعمده تحت تأثیر سیال خواهد بود، ضمن اینکه این نشان‌گرهای در تمایز نوع سیال نیز موفق عمل می‌کنند.

نشان‌گر گرادیان^{۱۶}

این نشان‌گر در زون گازی و در بخش‌های بالا و پایین به ترتیب با مقادیر منفی بالا و مثبت متوسط مشخص می‌شود. همچنین در زون آبی و در بخش‌های بالا و پایین

1. Shear Wave Impedance Reflectivity

2. P-Wave Impedance Reflectivity

3. Pseudo-Poisson Reflectivity

4. Fluid Factor

5. Gradient

6. SIGN

7. Poisson Reflectivity

8. Elastic Impedance Reflectivity

بازتابندگی دانسیته و سرعت را محاسبه نمود. مراحل ذکر شده در ارتباط با CDP‌های همه نمونه‌ها تکرار می‌شود. نتایج به دست آمده، داده‌های بازتابندگی است که نشان‌گرهای AVO نامیده می‌شود. لازم به ذکر است که پارامتر بازتابندگی دانسیته در مقایسه با بازتابندگی سرعت‌های امواج P و S کوچک می‌باشد. همچنین اثرات پارامتر بازتابندگی دانسیته در دورافت‌های بالا و زوایای فرودی بیش از 30° درجه آشکار می‌شود. در اغلب موارد داده‌های مربوط به دورافت‌های بالا که شامل اطلاعات دانسیته است، موجود نمی‌باشد. عوامل دیگری نظیر نوفه و بازیابی ناقص دامنه، موجب ایجاد خطای مقادیر پارامترهای بازتابندگی دانسیته و سرعت امواج P و S می‌شود. معمولاً در محاسبات مربوط به مدل‌سازی معکوس AVO، مقدار بازتابندگی دانسیته از روابط شامل سرعت موج P تعیین می‌گردد. مدل‌سازی معکوس AVO در دو حالت به کار گرفته می‌شود: (الف) به کارگیری تقریب شوی [۹] به جای معادلات زوپریتس، (ب) استفاده از تقریب اسمیت-گیدلو [۵] به جای معادلات زوپریتس. جهت محاسبه مقادیر نشان‌گرها به ترتیبی که بیان گردید. در شکل‌های ۵ و ۶ نتایج مدل‌سازی مستقیم در ارتباط با نشان‌گرهای ضریب سیال و بازتابندگی شبیه پواسون رسم شده است. در این شکل‌ها بالای زون گازی با مقادیر منفی یعنی خاکستری روشن و پایین آن با مقادیر مثبت یعنی خاکستری نمایان می‌شود. در این شکل‌ها می‌توان دو زون احتمالی ۱ و ۲ مخزنی را در نظر گرفت و در بخش زیرین احتمالاً لایه آبی خواهیم داشت. لازم به ذکر است بالا پایین لایه‌های آبی به ترتیب با مقادیر مثبت بالا (خاکستری سیر) و مقادیر مثبت متوسط (خاکستری) مشخص می‌شود. چاه گرگان ۳ الف به مقدار کمی از ذخایر هیدروکربوری سبک رسیده است که نتایج مدل‌سازی مستقیم وجود آن را در مقطع برگردان شده نشان‌گر ضریب سیال تایید می‌کند (شکل شماره ۷). همچنین بر اساس نتایج مدل‌سازی مستقیم، وجود دو زون گازی احتمالی به وسیله مقطع برگردان شده نشان‌گر علامت نیز تأیید می‌شود (شکل شماره ۸).

ترتیب با مقادیر مثبت بالا و منفی نزدیک به صفر مشخص می‌شود. همچنین در زون آبی و در بخش‌های بالا و پایین نیز مقادیر مثبت نزدیک به صفر و منفی نزدیک به صفر را داراست. بدین ترتیب تغییرات نشان‌گر مذکور تحت تاثیر سیال و لیتوژوژی خواهد بود. ضمن اینکه این نشان‌گر در تفکیک محدوده‌های مخزنی عملکرد نسبتاً مناسبی دارد.

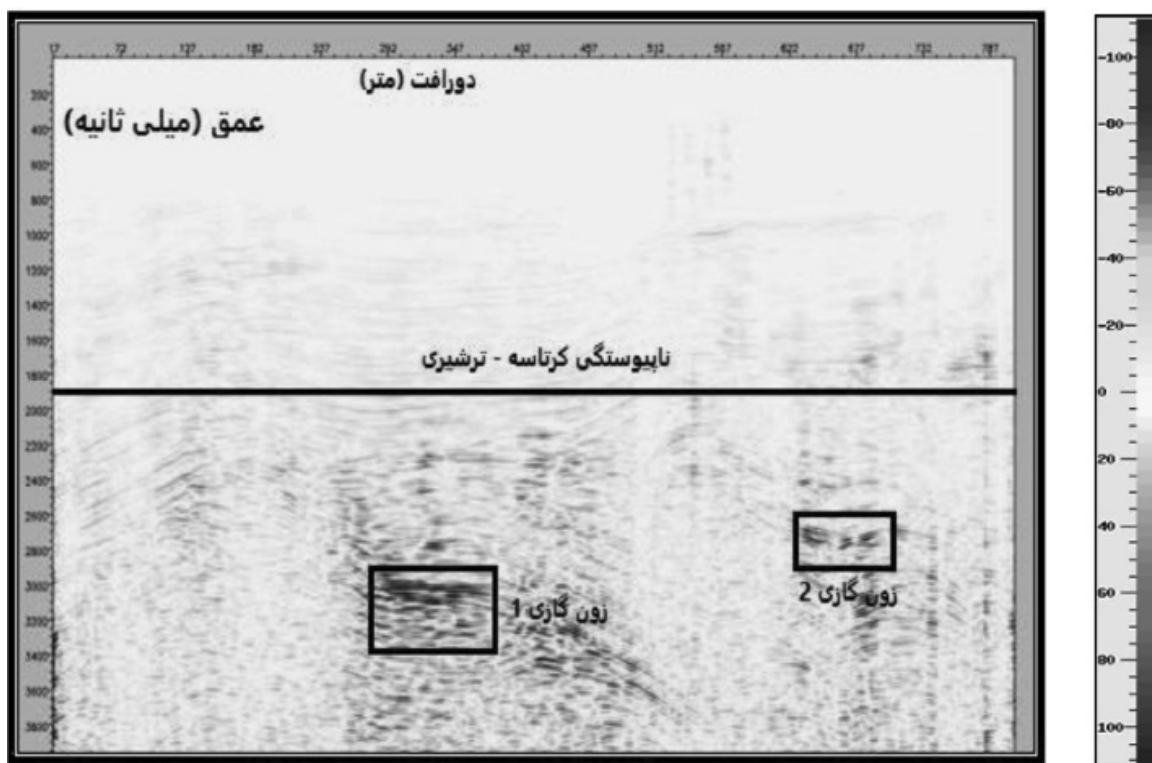
مدل‌سازی معکوس AVO در دشت گرگان

هدف فرآیند مدل‌سازی معکوس، تبدیل داده‌های لرزه‌ای واقعی به مقاطعی از انواع نشان‌گرها است که کاملاً مفهوم فیزیکی دارند. به این ترتیب، ورودی مدل‌سازی معکوس داده‌های واقعی قبل از برآنبارش و خروجی آن انواع ضرایب بازتابندگی می‌باشد. این ضرایب تابعی از زاویه فرودی بوده و به کمک معادلات زوپریتس [۸] و تقریب‌های آن محاسبه می‌شوند. مفهوم بازتابندگی، تغییر نسبی در پارامترهای سنگ می‌باشد. سه جزء اصلی در محاسبه ضرایب بازتاب‌پذیری که در مدل‌سازی معکوس AVO کاربرد دارند، عبارتند از:

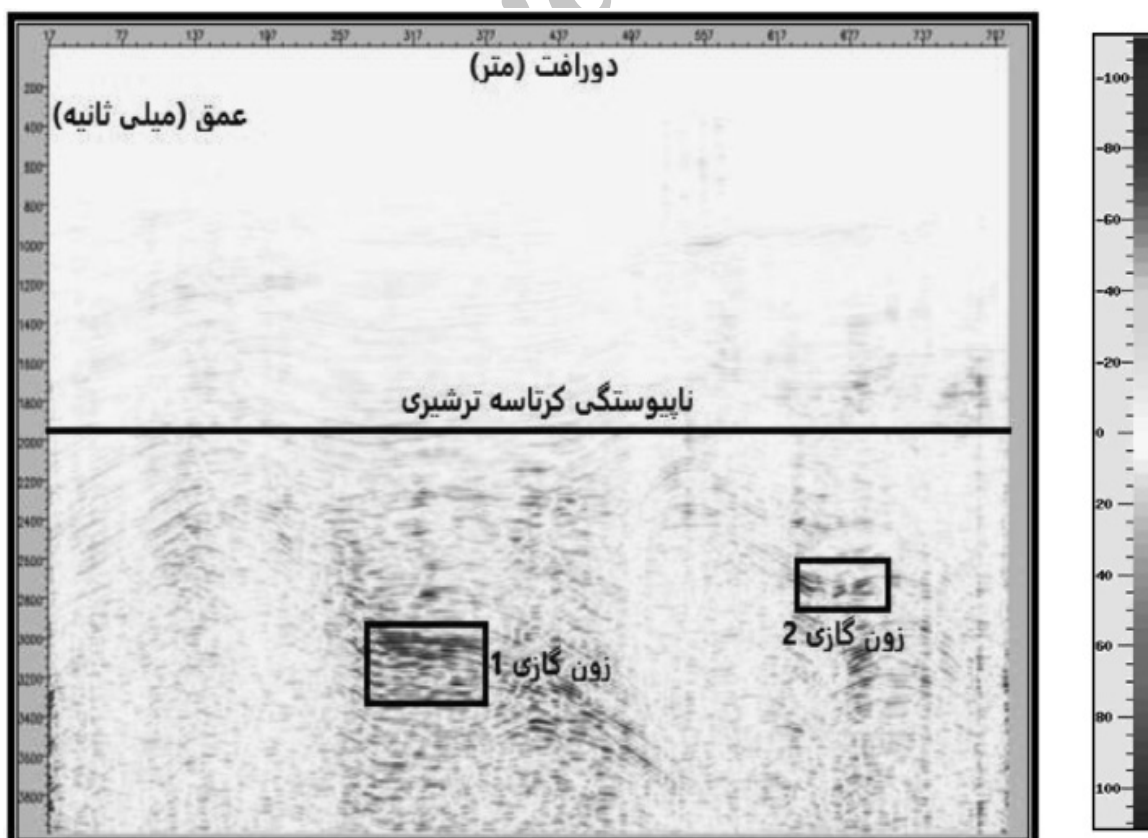
- ۱- تغییر نسبی در سرعت موج غیر تبدیلی P
- ۲- تغییر نسبی در سرعت موج تبدیلی S
- ۳- تغییر نسبی در دانسیته

مراحل اساسی در روش مدل‌سازی معکوس AVO عبارتند از:
 الف- محاسبه زاویه فرودی: جهت اجرای مدل‌سازی معکوس AVO لازم است زاویه فرودی در ارتباط با همه CDP‌ها، دورافت‌ها و نمونه‌های زمانی یا عمق معلوم باشد. با داشتن مدل سرعت و محل گیرنده - منع، می‌توان زاویه فرودی را با به کارگیری روش رد لرزه پرتو^۱ تعیین نمود.
 ب- فرمولاسیون حداقل مربعات جهت مدل‌سازی معکوس AVO: گام دوم در مدل‌سازی معکوس AVO، مستلزم به کارگیری همه مقادیر دامنه‌ها در ارتباط با تمام دورافت‌های مرتبه با هر نمونه زمانی است.

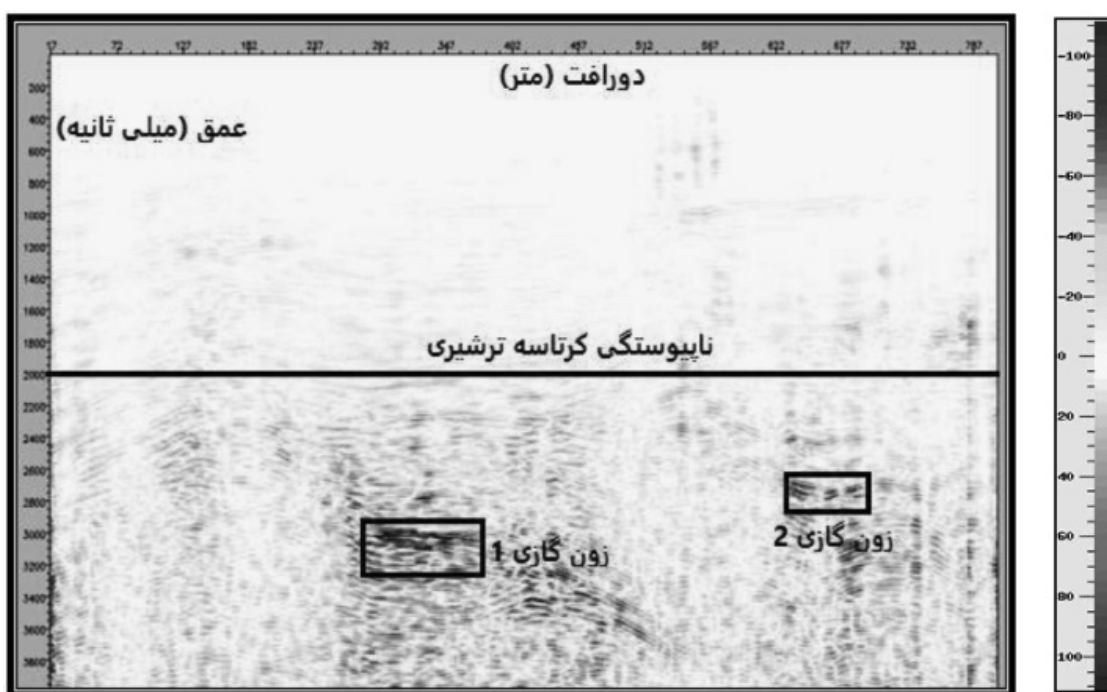
آنالیز دامنه‌ها به عنوان تابعی از زاویه فرودی انجام می‌شود. لازم به ذکر است که هریک از دورافت‌ها با استفاده از روش رد لرزه پرتو با پارامتر زاویه معادل‌سازی می‌شود. با به کارگیری روش حداقل مربعات، بهترین نمودار مرتبه با معادله زوپریتس که انطباق مناسب‌تری با داده‌ها دارد، رسم می‌شود. به کمک این نمودار می‌توان پارامترهای



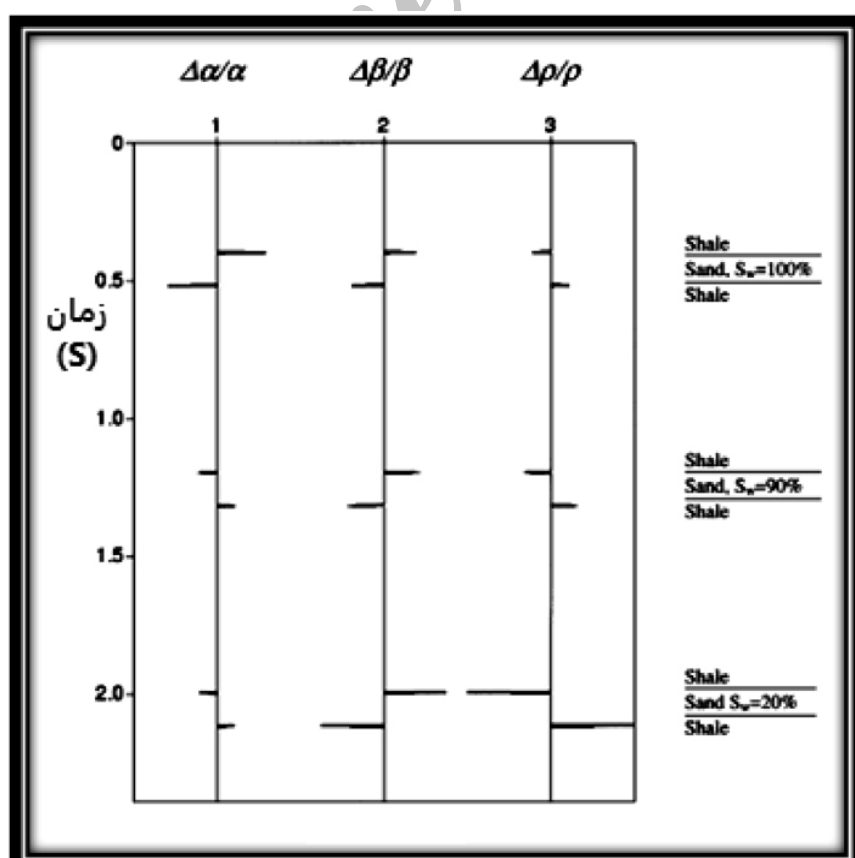
شکل ۵- مقطع برگردان شده نشان گر ضرب سیال و زون های احتمالی گازی ۱ و ۲



شکل ۶- مقطع برگردان شده نشان گر بازتابندگی شبیه پواسون (در این شکل زون های گازی ۱ و ۲ نیز نشان داده شده است)



شکل ۷- مقطع برگردان شده نشان‌گر ضرب سیال وزون‌های احتمالی گازی ۱ و ۲ است، در این شکل همچنین مسیر چاه گرگان ۳ الف و زون گازی کوچکی که چاه با آن مواجه گردیده نیز مشخص شده است.



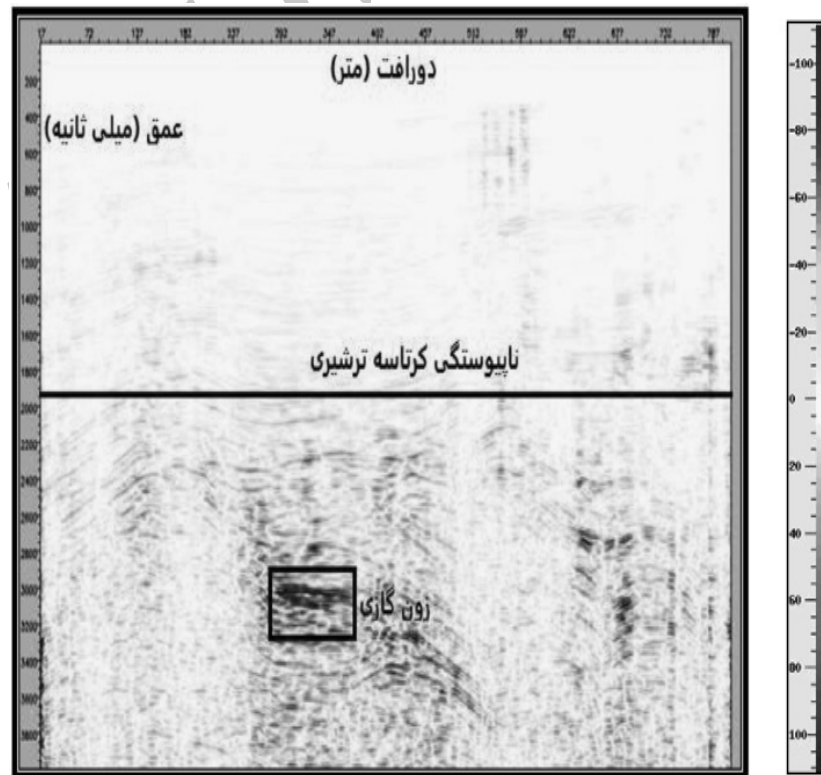
شکل ۸- مقطع برگردان شده نشان‌گر علامت (در این شکل زون‌های گازی ۱ و ۲ نیز نشان داده شده است)

داده شده است: الف) قدر مطلق مقدار تقابل سرعت موچ برشی پایین است، قدر مطلق مقدار تقابل سرعت موچ برشی متوسط و تقابل سرعت موچ تراکمی بالاست. در این حالت میزان درجه اشباع آب مخازن ماسه سنگی احاطه شده به وسیله شیل ۱۰۰٪ می‌باشد. ب- چنانچه مقدار تقابل دانسیته پایین بوده و مقادیر تقابل سرعت های موچ برشی و تراکمی به ترتیب خیلی کم و متوسط باشد، در این حالت میزان درجه اشباع آب مخازن مذکور ۹۰٪ و درجه اشباع هیدروکربوری ۱۰٪ خواهد بود. ج) در صورتی که مقدار تقابل سرعت موچ برشی در مقایسه با سرعت موچ تراکمی بیشتر بوده و میزان دانسیته نیز بالا باشد، درجه اشباع هیدروکربوری ۹۰٪ خواهد بود. در شکل ۱۰ مقطع برگردان شده از نشان‌گر تقابل (بازتابندگی) سرعت موچ برشی نشان داده شده است. همان‌گونه که مشاهده می‌شود، مقدار سرعت موچ برشی در زون گازی نسبتاً بالاست. در شکل ۱۱ مقطع برگردان شده از نشان‌گر بازتابندگی سرعت موچ تراکمی نشان داده شده است، در زون گازی مقدار نشان‌گر مذکور کمتر از سرعت موچ برشی می‌باشد. شکل ۱۲ نشان‌دهنده مقدار بسیار پایین پارامتر تقابل دانسیته است.

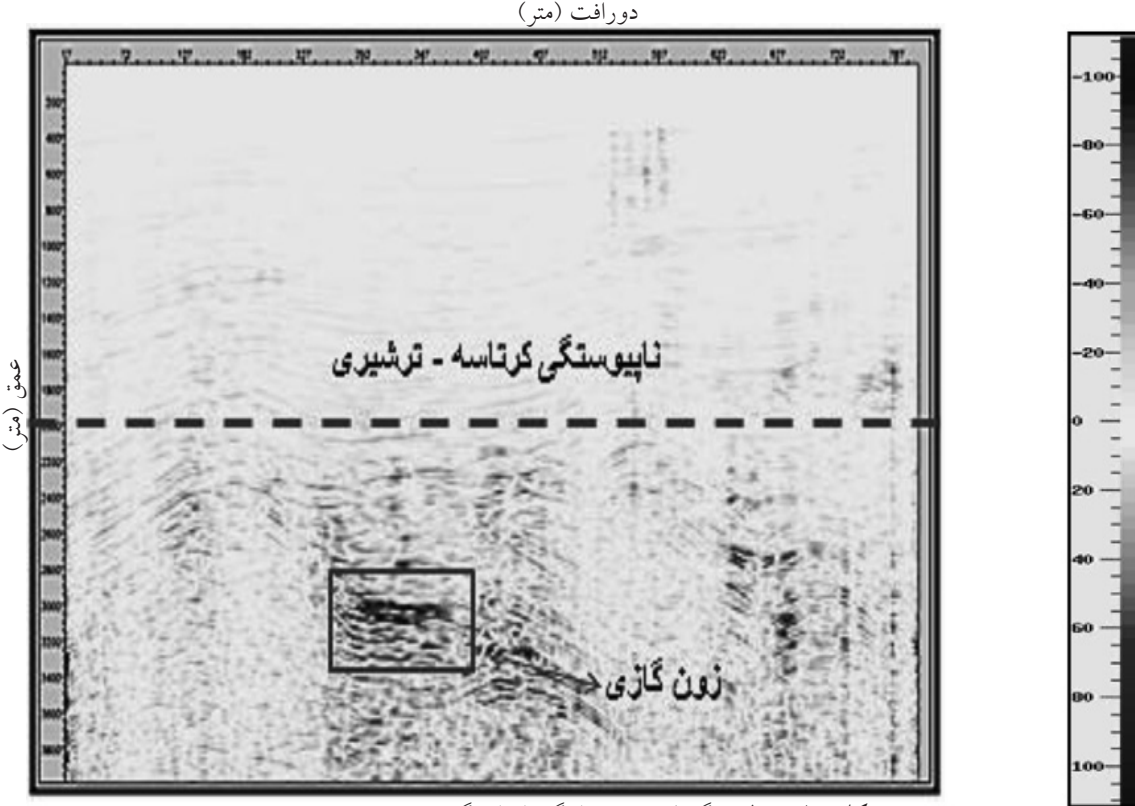
تخمین درجه اشباع هیدروکربورهای گازی

جهت تخمین درجه اشباع هیدروکربورهای گازی زون‌های مخزنی احتمالی از نمودار راموس - کاستاگنا استفاده می‌شود. در شکل ۹ پارامترهای تقابل دانسیته، تقابل سرعت موچ برشی و تقابل سرعت موچ تراکمی با استفاده از ویژگی‌های شیل - ماسه آبی مخازن کلاس ۳ شبیه سازی شده است. لازم به ذکر است که با در نظر گرفتن افزایش ضریب انعکاسی نسبت به زاویه فرودی طبق اشکال ۲ و ۳، مخزن احتمالی مورد بررسی در دشت گرگان نیز از همین کلاس است. پس از آن به کمک معادلات گاسمن می‌توان درجه اشباع آب را به مقدار ۹۰٪ و ۲۰٪ تغییر داد. در این حالت مقادیر $\Delta\beta/\beta$ و $\Delta\rho/\rho$ در نتیجه جایگزینی گاز به جای آب در ماسه به ترتیب، مثبت و منفی می‌شود. علت این است که حضور گاز منجر به کاهش دانسیته و افزایش سرعت موچ برشی در ماسه می‌گردد، به عبارت دیگر حضور گاز ابتدا موجب افت شدید و تغییر علامت $\Delta\alpha/\alpha$ شده و پس از آن با کاهش بیشتر درجه اشباع آب، تغییر قابل توجهی در مقدار $\Delta\alpha/\alpha$ ایجاد نمی‌شود.

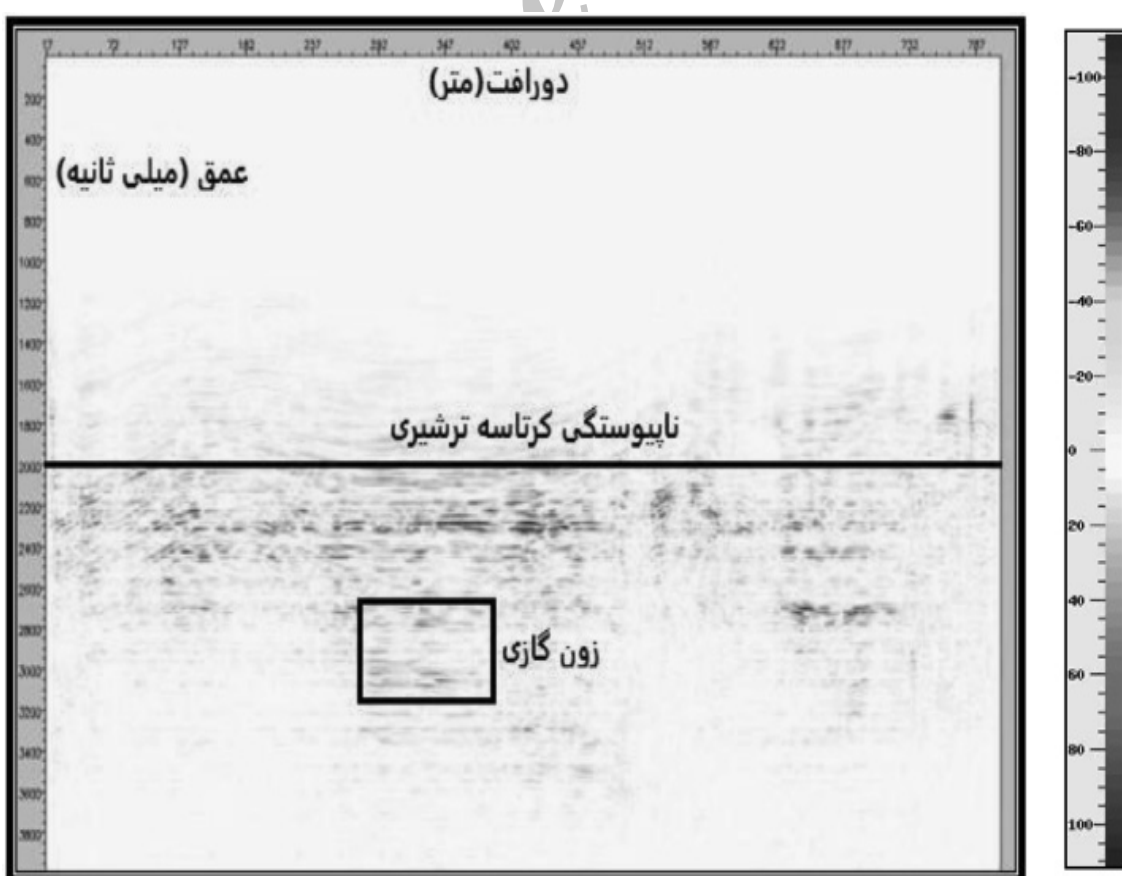
در شکل ۹ (نمودار راموس - کاستاگنا) سه حالت نشان



شکل ۹- نمودار راموس - کاستاگنا [۱۰].

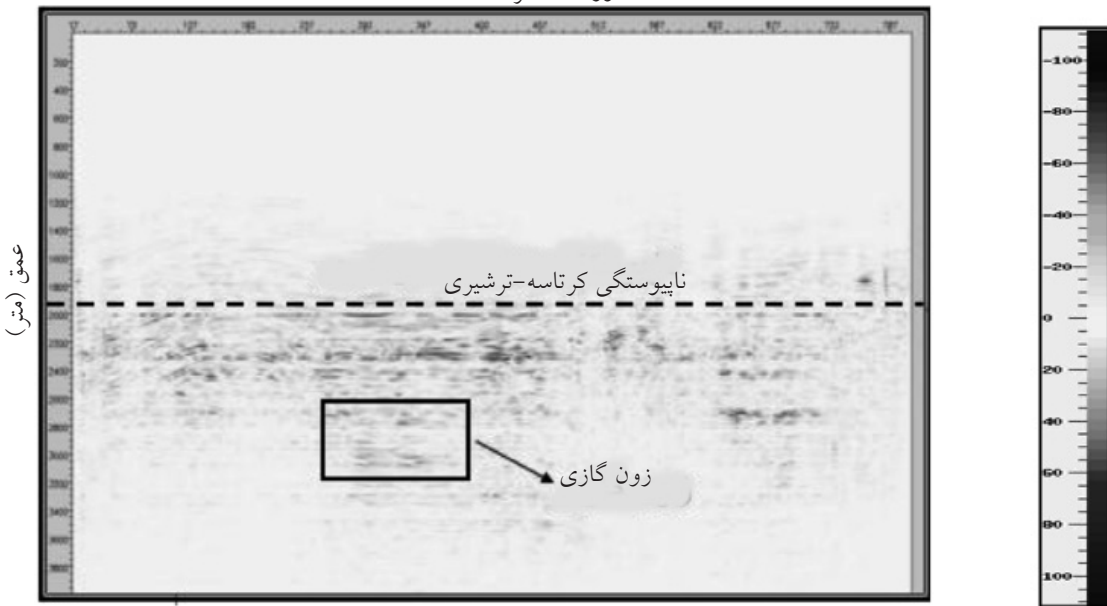


شکل ۱۰- مقطع برگردان شده نشان گر بازتابندگی سرعت موج برشی



شکل ۱۱- مقطع برگردان شده نشان گر بازتابندگی موج تراکمی

دورافت (متر)



شکل ۱۲- مقطع برگردان شده نشان گر بازتابندگی دانسیته

تحت تأثیر تغییرات لیتلولوژی قرار می‌گیرند (مانند نشان گر بازتابندگی امپدانس موج تراکمی) یا همزمان متأثر از نوع سیال و لیتلولوژی می‌باشند.

۲- با توجه به جداول ۱ و ۲ نشان گرهای تبدیلی شامل نشان گرهای بازتابندگی سرعت موج برشی و بازتابندگی امپدانس موج برشی نسبت به نشان گرهای غیر تبدیلی شامل بازتابندگی سرعت موج تراکمی و بازتابندگی امپدانس موج تراکمی قدرت بیشتری در تمایز سیال آبی از گازی دارند.

۳- با تشکیل مقطع برگردان شده از نشان گر ضریب سیال، می‌توان دو زون احتمالی گازی در زیر نایپیوستگی کرتاسه - ترشیری شناسایی نمود که در بخش زیرین زون ۱، احتمالاً لایه آبی خواهیم داشت. با در نظر گرفتن نمودار راموس - کاستاگنا و بررسی مقادیر نشان گرهای تقابل دانسیته، سرعت موج برشی و تراکمی از روی مقاطع برگردان شده نشان گرهای مذکور می‌توان گفت که درجه اشباع زون‌های هیدروکربوری شناسایی شده در زیر نایپیوستگی کرتاسه - ترشیری پایین بوده و در حدود ۱۰٪ است.

لازم به ذکر است که در تمام مقاطع برگردان شده رنگ خاکستری سیر، بیان گر مقادیر بالا و خاکستری روشن نمایان گر مقادیر کمتر از نشان گرهای مورد بررسی می‌باشد. با در نظر گرفتن اطلاعات لیتلولوژی چاه قزل تپه ۲ که اعمق ۵۸۲۷ m و زیر نایپیوستگی کرتاسه - ترشیری حفاری شده است، می‌توان نتیجه گرفت که جنس لیتلولوژی زون گازی در مقاطع برگردان شده از شکل‌های ۱۰ تا ۱۲ احتمالاً شیل و ماسه است که با مدل شکل ۹ سازگاری دارد. به این ترتیب با توجه به توضیحات بالا می‌توان گفت که درجه اشباع زون‌های هیدروکربوری شناسایی شده در زیر نایپیوستگی کرتاسه - ترشیری پایین بوده و در حدود ۱۰٪ است.

نتیجه‌گیری

۱- همان‌گونه که از مدل‌سازی مستقیم نتیجه می‌شود، نشان گرهای بازتابندگی شبه پواسون و ضریب سیال پاسخ‌های مناسب‌تری در تمایز زون آبی از گازی به ویژه در بخش بالای مخزن دارند و سایر نشان گرهای تنها

مراجع

- [1]. Poster C. K., "AVO Techniques for Carbonate reservoir Characterization", SPE, 21361 , 1-3 November, 1991.
- [2]. Robert R. and Kendall J. "Shear-wave amplitude anomalies in south-central Wyoming" Offshore Technology Conference, Houston, Texas, pp. 2-4, 2011.
- [3]. Neil P., Emma S. and Fiona S. "Aspects of Seismic Prospecting In Algeria", Society of Petroleum Engineers, Conference, Houston, Texas, pp. 3-5, 2011.
- [4]. Aki K., Richards P. G., *Quantitative seismology; theory and methods: W. H. Freeman and Company*, 1980.
- [5]. Smith G., and Gidlow P. M., "Weighted stacking for rock property estimation and detection of gas", *Geophys. Prosp.*, 35, 993–1014.1987.
- [6]. Fatti J. L., Vail P. J., Smith G. C., Strauss P. J., and Levitt P. R., "Detection of gas in sandstone reservoirs using AVO analysis", A3-D seismic case history using the geostack technique: *Geophysics*, 59, 1362–1376, 1994.
- [7]. فتوحی م., گزارش تکمیل چاه گرگان ۳ الف، شرکت ملی نفت، ایران، ۱۳۶۲.
- [8]. Zoeppritz K. and Erdbebenwellen VII B., "On the reflection and penetration of seismic waves through unstable layers: *Gottinger Nachr*", Vol. 1, pp. 66-84, 1919.
- [9]. Shuey R. T., "A simplification of the Zoeppritz equations", *Geophysics* 50, pp. 609-614.1985.
- [10]. Ramos A. and Castagna J. P., "Plane-wave reflection coefficients for gas sands at no normal angles of incidence", *GEOPHYSICS*, Vol. 49, No. 5, pp.1637-1648, 2001.